

Zi, J.W., Sheppard, S., Muhling, J.R., and Rasmussen, B., 2021, Refining the Paleoproterozoic tectonothermal history of the Penokean Orogen: New U-Pb age constraints from the Pembine-Wausau terrane, Wisconsin, USA: GSA Bulletin, <https://doi.org/10.1130/B36114.1>.

Supplemental Material

Figure S1. Petrographic photomicrographs of the studied rocks

Figures S2–S4. Backscattered electron (BSE) images of dated zircon grains

Table S1. Summary of locations, descriptions and geochronology results of dated samples

Table S2. SHRIMP setup and operating parameters for all analytical sessions

Table S3–S7. SHRIMP U-Pb data tables

Table S8–S11. Chlorite chemistry data tables

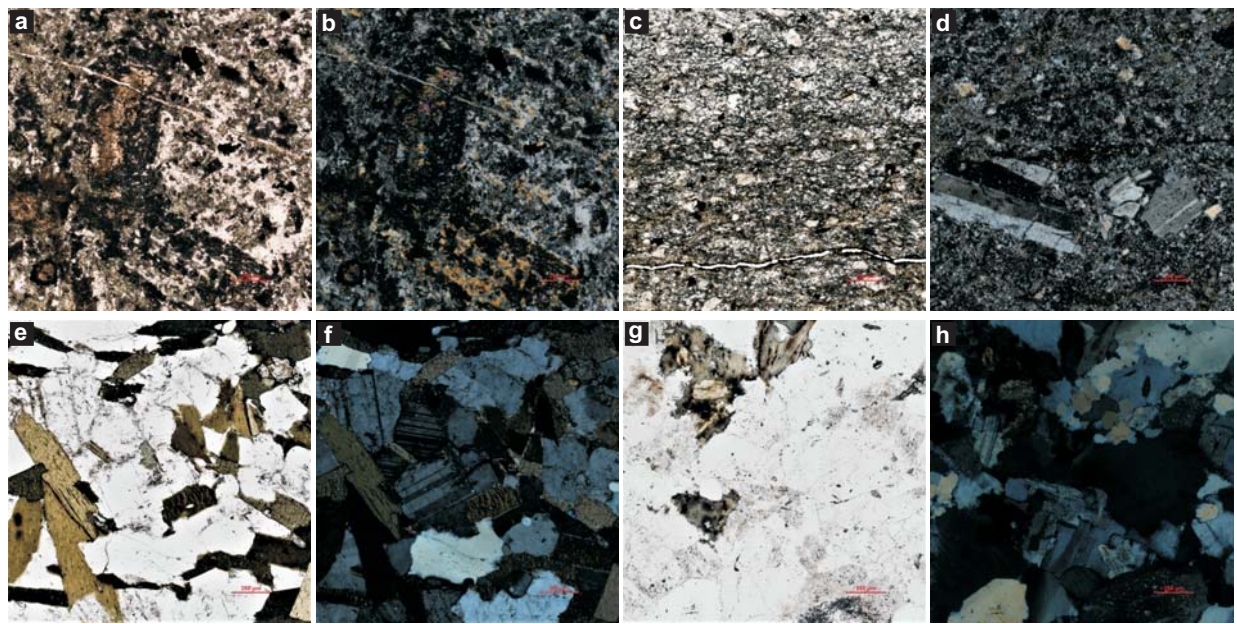


Fig. S1 Petrographic photomicrographs of the meta-rhyodacite (a-b) and meta-dacite (c-d) of the Beecher Formation, and tonalitic intrusive rocks of the Dunbar Gneiss (e-f) and the Newingham Tonalite (g-h), under plane polarized light (a, c, e, g) and cross polarized light (b, d, f, h).

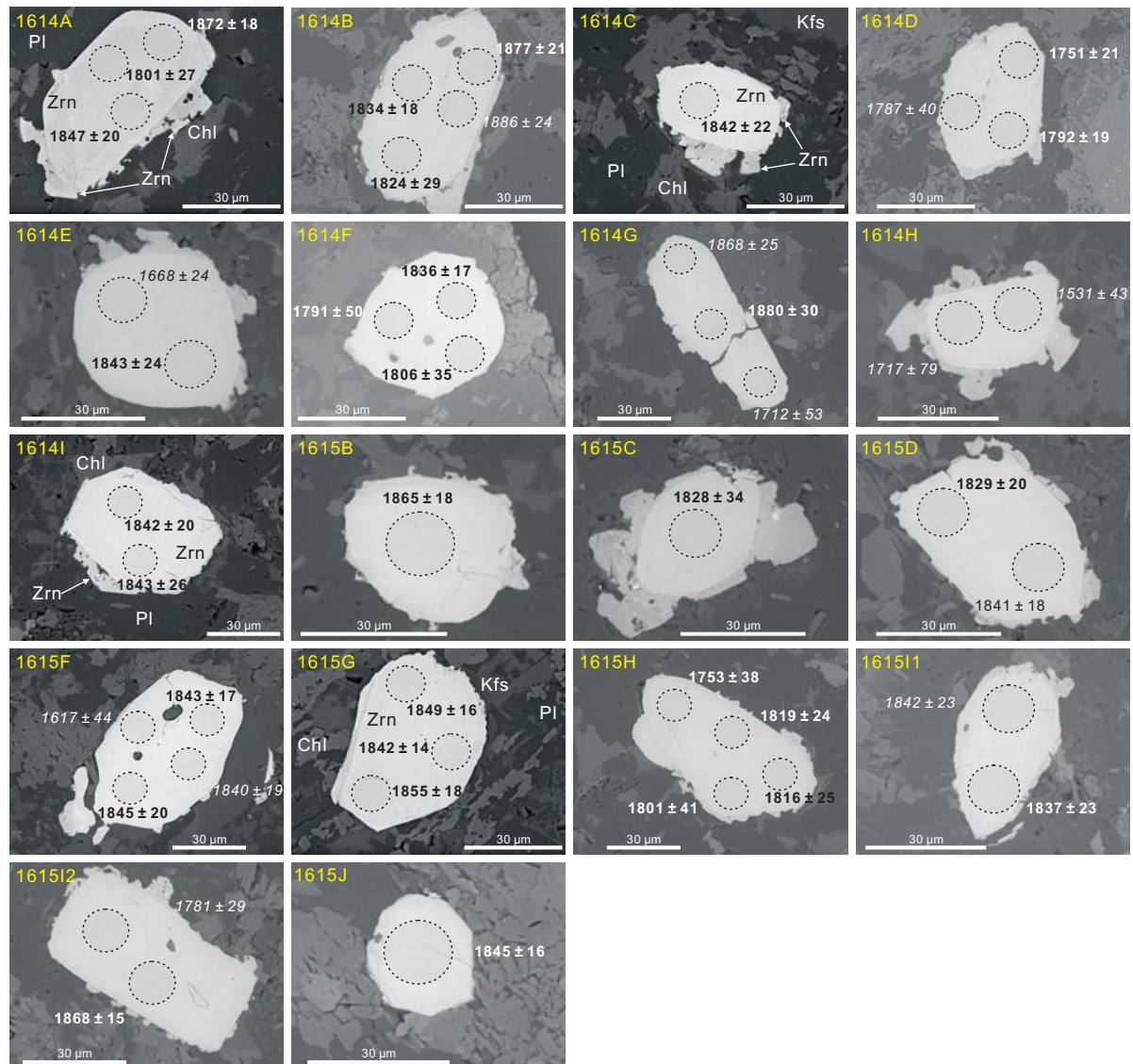


Fig. S2 Backscattered electron images of dated zircon grains from the Beecher Formation meta-rhyodacite (190615-2). Dashed circles represent SHRIMP analytical spots. The $^{207}\text{Pb}/^{206}\text{Pb}$ date (with 1σ error) is given next to each spot. Dates in italic record >5% discordance or >1% common Pb correction and are considered unreliable.

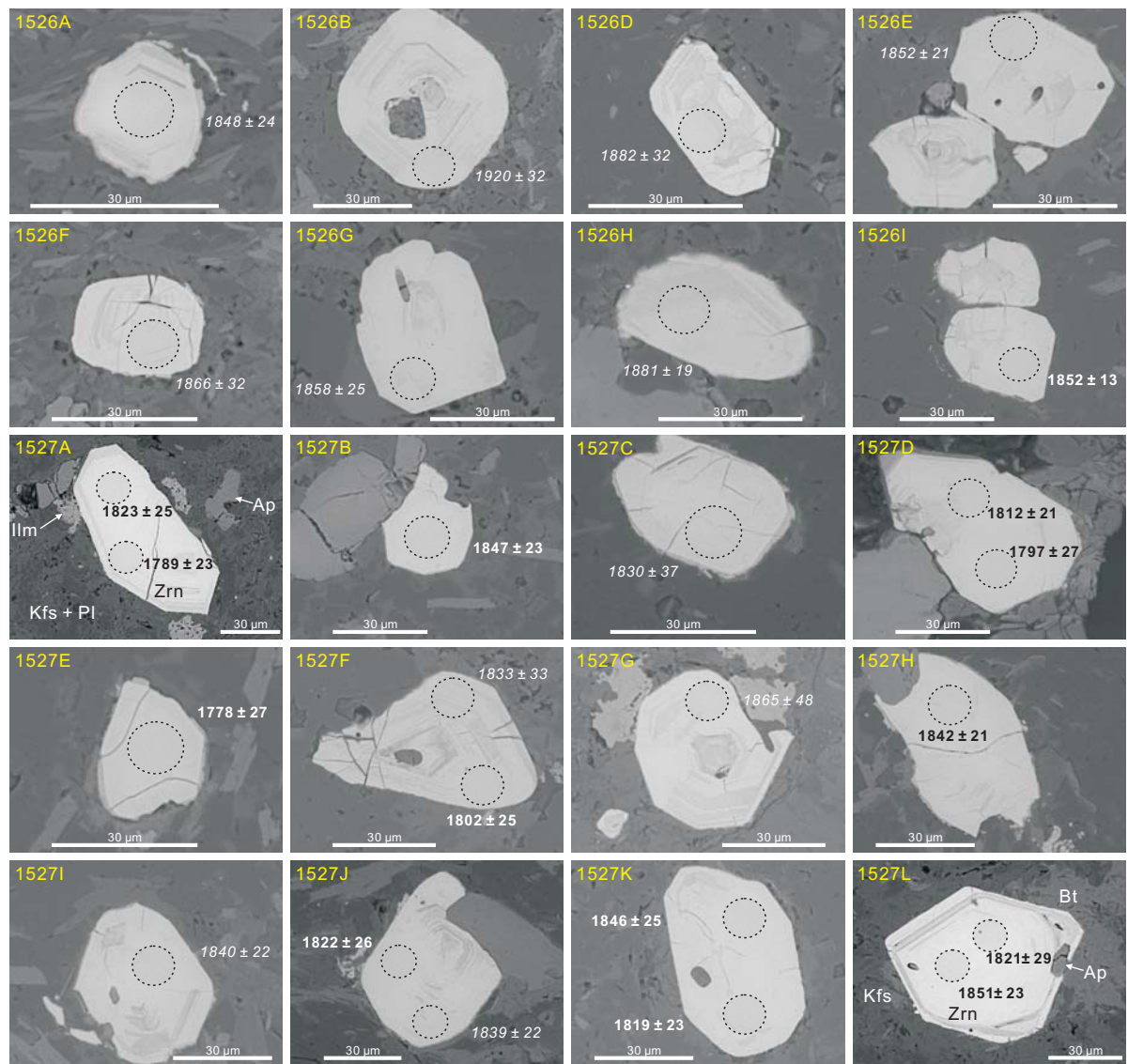
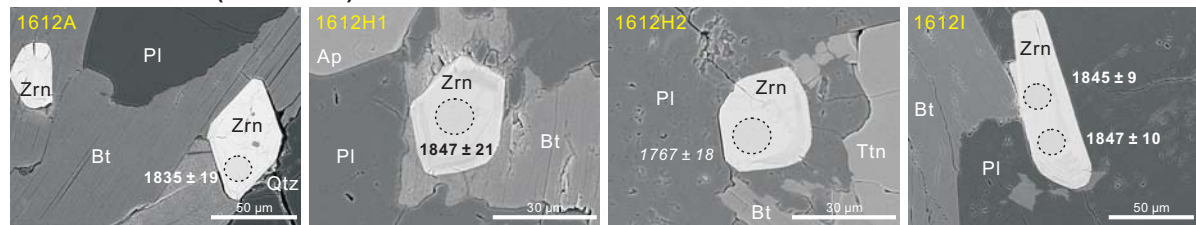


Fig. S3 Backscattered electron images of dated zircon grains from the Beecher Formation meta-dacite (190615-4). Other notes as in Fig. S2.

Dunbar Gneiss (190615-5)



Newingham Tonalite (190615-6)

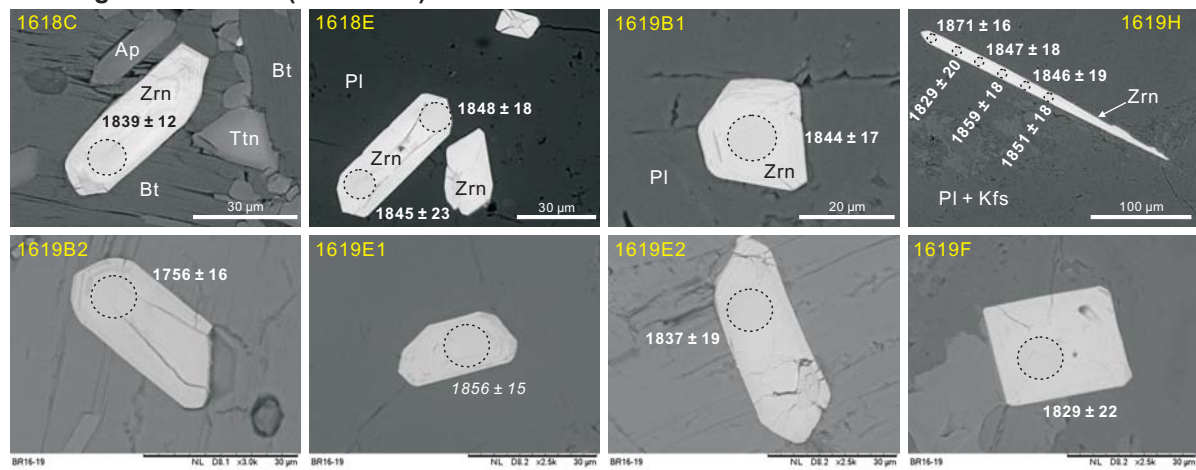


Fig. S4 Backscattered electron images of dated zircon grains from the Dunbar Gneiss (190615-4) and Newingham Tonalite (190615-6). Other notes as in Fig. S2.

TABLE S1. SUMMARY OF LOCATIONS, DESCRIPTIONS AND GEOCHRONOLOGY RESULTS OF DATED SAMPLES

Sample ID	Location (datum = NAD 1983)	Stratigraphic unit	Description	Geochronology results
190615-2	-88.074522° 45.563108°	Beecker Formation	Massive, gray, porphyritic meta-rhyodacite; strong static recrystallization evident in thin section; abundant secondary sericite and epidote; sample is free of inclusions or veins	1845 ± 7 Ma (zircon) 1775 ± 23 Ma (zircon)
190615-4	-87.855219° 45.564458°	Beecker Formation	Pale grey meta-dacite; plagioclase crystals up to a few millimeters in diameter in parts, locally crystal rich; in part medium-bedded, thinly laminated; strongly recrystallized; sample is free of inclusions or veins	1780-1850 Ma (zircon) 1775 ± 25 Ma (monazite)
190615-5	-88.198939° 45.679753°	Dunbar Gneiss	Weakly foliated, medium- to coarse-grained, porphyritic metatonalite or metagranodiorite; low-strain outcrop free of inclusions or veins; medium-grade metamorphic overprint evident in thin section	1845 ± 7 Ma (zircon) 1783 ± 14 Ma (zircon)
190615-6	-88.039181° 45.623064°	Newingham Tonalite	Massive to weakly foliated, pale grey metagranodiorite to metatonalite; sample is free of veins or inclusions; medium-grade metamorphic overprint evident in thin section	1847 ± 10 Ma (zircon)

TABLE S2. SHRIMP SETUP AND OPERATING PARAMETERS FOR ALL ANALYTICAL SESSIONS

Session	Mount ID	Sample ID	Mineral	Kohler aperture (μm)	Primary spot size (μm)	Intensity of O ₂ ⁻ primary beam (nA)	Mass resolution M/ΔM (1%)	Number of scans	Number of Pb/U standard	Pb/U standard & external precision (1σ, %)	²⁰⁷ Pb/ ²⁰⁶ Pb IMF reference (observed value)
1	BR15-26	190615-4	Zircon	50	12	-0.4	5060	8	11/11	BR266 (1.44)	OG1 (3460 ± 7 Ma, n = 6)
2	BR15-30	190615-4	Monazite	50	12	-0.5	5500	8	15/16	French (1.00)	Z2908 (1794 ± 6 Ma, n = 6)
3	BR15-30	190615-4	Monazite	30	10	-0.3	5000	8	10/13	French (4.27)	Z2908 (1788 ± 7 Ma, n = 5)
4	BR16-14 BR16-15 BR16-18	190615-2 190615-2 190615-6	Zircon	50	12	-0.7	5500	7	13/15	BR266 (1.00)	OG1 (3456 ± 8 Ma, n = 9)
5	BR16-11 BR16-12 BR16-18	190615-5 190615-5 190615-6	Zircon	30	10	-0.4	5400	8	13/17	BR266 (2.26)	OG1 (3469 ± 7 Ma, n = 10)
6	BR15-27 BR16-19	190615-4 190615-6	Zircon	50	12	-0.5	5170	8	21/22	BR266 (1.00)	OG1 (3467 ± 8 Ma, n = 7)

TABLE S3. SHRIMP U-PB DATA FOR ZIRCON IN META-RHYODACITE SAMPLE 190615-2 FROM THE BEECHER FORMATION

Analysis No.	U (ppm)	Th (ppm)	Th/U	f_{206} (%) [*]	$^{207}\text{Pb} / ^{206}\text{Pb}$ [†]	$\pm 1\sigma$	$^{206}\text{Pb} / ^{238}\text{U}$	$\pm 1\sigma$	$^{207}\text{Pb} / ^{235}\text{U}$	$\pm 1\sigma$	$^{208}\text{Pb} / ^{232}\text{Th}$	$\pm 1\sigma$	Disc. (%) [§]	$^{207}\text{Pb} / ^{206}\text{Pb}$	$\pm 1\sigma$
															Age (Ma)
Main group (1842 ± 7 Ma, $n = 32$, MSWD = 0.98)															
1614G.1-3	112	20	0.18	-0.15	0.1150	0.0019	0.323	0.006	5.12	0.12	0.097	0.005	4	1880	30
1614B.1-4	247	57	0.23	0.11	0.1148	0.0014	0.323	0.006	5.12	0.11	0.084	0.003	4	1877	21
1614A.1-2	303	74	0.25	-0.06	0.1145	0.0011	0.327	0.008	5.16	0.14	0.100	0.003	3	1872	18
1615I.1-2a	508	163	0.32	-0.05	0.1143	0.0010	0.337	0.007	5.31	0.12	0.098	0.003	0	1868	15
1615B.1-1	304	91	0.30	0.00	0.1140	0.0011	0.321	0.004	5.05	0.08	0.093	0.002	4	1865	18
1615G.1-3	379	63	0.17	0.10	0.1134	0.0012	0.322	0.007	5.03	0.13	0.089	0.004	3	1855	18
1615G.1-1	422	82	0.19	0.10	0.1131	0.0010	0.341	0.019	5.32	0.30	0.088	0.006	-2	1849	16
1614A.1-3	313	78	0.25	-0.13	0.1129	0.0013	0.326	0.007	5.07	0.12	0.096	0.004	2	1847	20
1615J.1-1	442	140	0.32	0.10	0.1128	0.0010	0.327	0.004	5.09	0.08	0.092	0.002	1	1845	16
1615F.1-2	248	60	0.24	-0.04	0.1128	0.0012	0.328	0.006	5.10	0.11	0.098	0.003	1	1845	20
1615F.1-1	382	111	0.29	0.03	0.1127	0.0011	0.333	0.004	5.18	0.08	0.096	0.002	-1	1843	17
1614I.1-2	494	105	0.21	0.02	0.1127	0.0016	0.319	0.004	4.95	0.09	0.089	0.002	3	1843	26
1614E.1-2	238	56	0.23	0.31	0.1127	0.0015	0.329	0.005	5.12	0.10	0.085	0.004	0	1843	24
1614C.1-2	290	67	0.23	0.14	0.1126	0.0013	0.344	0.033	5.34	0.51	0.087	0.009	-3	1842	22
1615G.1-2	667	157	0.23	0.07	0.1126	0.0009	0.331	0.008	5.15	0.13	0.088	0.003	0	1842	14
1614I.1-1	307	78	0.26	0.09	0.1126	0.0012	0.320	0.010	4.97	0.16	0.094	0.004	3	1842	20
1615D.1-2	268	72	0.27	0.00	0.1125	0.0011	0.323	0.005	5.01	0.08	0.091	0.004	2	1841	18
1614I.2-2	290	68	0.24	0.20	0.1124	0.0014	0.313	0.004	4.86	0.09	0.081	0.003	4	1838	22
1615I.1-2	252	80	0.32	0.19	0.1123	0.0014	0.330	0.007	5.11	0.12	0.092	0.004	0	1837	23
1614F.1-2	493	166	0.34	0.13	0.1123	0.0011	0.320	0.004	4.95	0.08	0.087	0.003	3	1836	17
1614B.1-2	342	89	0.26	0.05	0.1121	0.0011	0.328	0.006	5.07	0.11	0.092	0.003	0	1834	18
1615D.1-1	313	86	0.28	0.12	0.1118	0.0012	0.315	0.004	4.86	0.08	0.085	0.002	3	1829	20
1615C.1-1	226	49	0.22	0.19	0.1117	0.0021	0.325	0.005	5.01	0.12	0.088	0.005	1	1828	34
1614B.1-1	209	40	0.19	0.41	0.1115	0.0018	0.321	0.005	4.93	0.11	0.080	0.006	2	1824	29
1615H.1-2	244	68	0.28	0.13	0.1112	0.0015	0.324	0.008	4.96	0.14	0.087	0.003	1	1819	24
1615H.1-4	186	33	0.18	0.06	0.1110	0.0015	0.338	0.012	5.17	0.19	0.087	0.007	-3	1816	25

1614F.1-3	359	106	0.29	0.00	0.1104	0.0021	0.328	0.004	4.99	0.12	0.092	0.002	-1	1806	35
1614A.1-1	169	29	0.17	0.20	0.1101	0.0016	0.325	0.007	4.93	0.13	0.087	0.005	-1	1801	27
1615H.1-3	222	39	0.18	0.00	0.1101	0.0025	0.337	0.009	5.11	0.17	0.091	0.003	-4	1801	41
1614A.1-4	195	37	0.19	0.41	0.1098	0.0025	0.323	0.009	4.89	0.18	0.075	0.006	-1	1795	42
1614D.1-2	413	103	0.25	0.17	0.1095	0.0011	0.323	0.009	4.87	0.14	0.083	0.004	-1	1792	18
1614F.1-1	250	59	0.24	0.22	0.1095	0.0030	0.322	0.006	4.86	0.16	0.083	0.004	0	1791	50
<i>Young outliers</i>															
1615H.1-1	183	51	0.28	0.73	0.1073	0.0022	0.324	0.005	4.78	0.12	0.081	0.005	-3	1753	38
1614D.1-1	382	68	0.18	0.23	0.1071	0.0012	0.322	0.006	4.75	0.10	0.079	0.004	-3	1751	21
<i>Rejected analyses</i>															
1614G.1-2	301	80	0.27	1.85	0.1048	0.0030	0.295	0.007	4.27	0.16	0.067	0.008	3	1712	53
1614D.1-3	368	84	0.23	0.14	0.1092	0.0024	0.287	0.010	4.33	0.18	0.069	0.004	9	1787	40
1614B.1-3	210	45	0.21	-0.14	0.1154	0.0016	0.305	0.005	4.85	0.10	0.091	0.005	9	1886	24
1614I.1-3	272	77	0.28	0.03	0.1122	0.0019	0.292	0.007	4.52	0.13	0.085	0.003	10	1835	31
1614I.2-1	238	52	0.22	0.25	0.1088	0.0014	0.278	0.004	4.17	0.08	0.073	0.003	11	1779	24
1614I.1-4	593	239	0.40	0.06	0.1118	0.0010	0.277	0.003	4.27	0.06	0.079	0.004	14	1828	16
1615I.1-1a	703	298	0.42	0.86	0.1089	0.0017	0.254	0.006	3.82	0.10	0.072	0.003	18	1781	29
1614H.1-2	283	66	0.24	0.16	0.1052	0.0045	0.240	0.003	3.48	0.16	0.069	0.002	19	1717	79
1614C.1-1	255	121	0.47	0.54	0.1067	0.0019	0.218	0.010	3.20	0.16	0.032	0.003	27	1743	32
1614C.1-3	334	130	0.39	0.57	0.1037	0.0017	0.178	0.005	2.54	0.08	0.042	0.0025	38	1690	30
1615F.1-4	210	44	0.21	0.77	0.0996	0.0023	0.159	0.008	2.18	0.12	0.041	0.0042	41	1617	44
1614E.1-1	587	382	0.65	0.52	0.1024	0.0014	0.151	0.002	2.13	0.04	0.030	0.0012	46	1668	24
1614H.1-1	1474	1040	0.71	0.77	0.0951	0.0022	0.108	0.003	1.42	0.05	0.023	0.0026	57	1531	43

Note: Analyses are sorted by descending $^{207}\text{Pb}/^{206}\text{Pb}$ date, except those rejected due to high common Pb or large discordance.

* f_{206} is the proportion of common Pb in ^{206}Pb , determined using the measured $^{204}\text{Pb}/^{206}\text{Pb}$ and a common Pb composition from the Stacey-Kramers (1975) model at the approximate age of the sample.

† All Pb isotope data and $t[^{207}\text{Pb}/^{206}\text{Pb}]$ have been corrected for common Pb.

‡ Disc. is apparent discordance, as $100 \cdot (t[^{207}\text{Pb}/^{206}\text{Pb}] - t[^{206}\text{Pb}/^{238}\text{U}]) / t[^{207}\text{Pb}/^{206}\text{Pb}]$.

TABLE S4. SHRIMP U-PB DATA FOR ZIRCON IN META-DACITE SAMPLE 190615-4 FROM THE BEECHER FORMATION

Analysis No.	U (ppm)	Th (ppm)	Th/U	f_{206} (%)*	^{207}Pb / ^{206}Pb †	$\pm 1\sigma$	^{206}Pb / ^{238}U	$\pm 1\sigma$	^{207}Pb / ^{235}U	\pm	^{208}Pb / ^{232}Th	$\pm 1\sigma$	Disc. (%)§	^{207}Pb / ^{206}Pb	$\pm 1\sigma$
	Age (Ma)														
<i>Age spreading from ca. 1850 Ma to 1780 Ma</i>															
1526I.1-1	493	180	0.37	-0.02	0.1132	0.0008	0.325	0.005	5.07	0.08	0.090	0.002	2	1852	13
1527L.1-1	309	105	0.34	0.04	0.1132	0.0015	0.318	0.005	4.96	0.09	0.090	0.002	4	1851	23
1527B.1-1	287	96	0.34	0.00	0.1130	0.0014	0.319	0.005	4.97	0.09	0.087	0.002	3	1847	23
1527K.1-1	238	69	0.29	-0.05	0.1129	0.0015	0.318	0.005	4.95	0.10	0.094	0.003	3	1846	25
1527H.1-1	389	173	0.45	0.06	0.1126	0.0013	0.316	0.004	4.90	0.08	0.082	0.002	4	1842	21
1527A.1-1	297	65	0.22	0.12	0.1115	0.0015	0.325	0.005	5.00	0.10	0.088	0.003	0	1823	25
1527J.1-1	244	64	0.26	0.10	0.1114	0.0016	0.322	0.005	4.95	0.10	0.086	0.004	1	1822	26
1527L.1-2	206	61	0.30	0.12	0.1113	0.0018	0.311	0.005	4.77	0.11	0.086	0.003	4	1821	29
1527K.1-2	426	144	0.34	0.18	0.1112	0.0014	0.306	0.004	4.69	0.08	0.081	0.002	5	1819	23
1527D.1-1	379	98	0.26	-0.06	0.1107	0.0013	0.328	0.005	5.01	0.08	0.090	0.002	-1	1812	21
1527F.1-1	358	109	0.31	0.18	0.1101	0.0015	0.316	0.004	4.80	0.09	0.088	0.003	2	1802	25
1527D.1-2	423	131	0.31	0.74	0.1098	0.0016	0.324	0.004	4.91	0.09	0.086	0.005	-1	1797	27
1527A.1-2	322	132	0.41	0.08	0.1094	0.0014	0.317	0.005	4.77	0.09	0.081	0.003	1	1789	23
1527E.1-1	379	151	0.40	0.45	0.1087	0.0016	0.314	0.004	4.71	0.09	0.060	0.003	1	1778	27
<i>Rejected analyses</i>															
1527I.1-1	299	112	0.37	0.00	0.1125	0.0014	0.309	0.005	4.79	0.09	0.063	0.002	6	1840	22
1527J.1-2	361	108	0.30	0.03	0.1124	0.0013	0.303	0.004	4.70	0.08	0.082	0.002	7	1839	22
1526J.1-1	391	204	0.52	0.98	0.1148	0.0023	0.189	0.004	2.99	0.09	0.033	0.002	41	1877	36
1526D.1-1	409	184	0.45	1.57	0.1151	0.0021	0.228	0.006	3.61	0.11	0.052	0.003	30	1882	32
1526B.1-1	298	118	0.40	1.23	0.1176	0.0021	0.247	0.006	4.00	0.11	0.065	0.003	26	1920	32
1526F.1-1	415	230	0.55	0.82	0.1141	0.0020	0.249	0.005	3.92	0.10	0.047	0.002	23	1866	32
1526H.1-1	292	138	0.47	0.11	0.1150	0.0012	0.262	0.005	4.16	0.09	0.055	0.002	20	1881	19
1526A.1-1	293	159	0.54	0.46	0.1130	0.0015	0.262	0.006	4.09	0.11	0.050	0.002	19	1848	24
1526E.1-1	300	90	0.30	0.45	0.1133	0.0013	0.281	0.008	4.39	0.13	0.074	0.003	14	1852	21
1526G.1-1	339	114	0.34	0.69	0.1136	0.0016	0.285	0.008	4.46	0.14	0.061	0.003	13	1858	25
1526F.2-1	272	90	0.33	0.92	0.1132	0.0017	0.285	0.005	4.45	0.10	0.077	0.004	13	1852	28

1527C.1-1	296	292	0.99	0.84	0.1119	0.0023	0.269	0.004	4.16	0.10	0.031	0.002	16	1830	37
1527F.1-2	419	103	0.25	0.91	0.1121	0.0020	0.260	0.004	4.02	0.09	0.068	0.004	19	1833	33
1527G.1-1	345	153	0.44	1.10	0.1141	0.0030	0.234	0.005	3.68	0.12	0.049	0.003	27	1865	48
1527H.1-2	2134	435	0.20	2.00	0.1036	0.0033	0.156	0.004	2.23	0.09	0.063	0.005	45	1690	58

Footnotes as in Table S3.

TABLE S5. SHRIMP U-PB DATA FOR MONAZITE IN META-DACITE SAMPLE 190615-4 FROM THE BEECHER FORMATION

Analysis No.	U (ppm)	Th (ppm)	Th/U	f_{206} (%)*	^{207}Pb / ^{206}Pb †	$\pm 1\sigma$	^{206}Pb / ^{238}U	$\pm 1\sigma$	^{207}Pb / ^{235}U	$\pm 1\sigma$	^{208}Pb / ^{232}Th	$\pm 1\sigma$	Disc. (%)§	^{207}Pb / ^{206}Pb	Age (Ma)	$\pm 1\sigma$
<i>Main Age (1775 ± 25 Ma; n = 10, MSWD = 0.27)</i>																
1530E.2-1	147	775	5.3	2.20	0.1095	0.0043	0.281	0.004	4.25	0.18	0.079	0.002	-4	1791	72	
1530A.1-3	353	516	1.5	0.64	0.1093	0.0012	0.348	0.015	5.24	0.24	0.112	0.007	-8	1787	20	
1530A.2-2	307	645	2.1	1.34	0.1075	0.0027	0.283	0.029	4.20	0.44	0.113	0.007	9	1758	45	
1530B.1-1r	28	2357	84	1.86	0.1093	0.0058	0.316	0.015	4.77	0.34	0.100	0.006	1	1788	96	
1530D.1-1	120	2828	24	1.30	0.1091	0.0029	0.298	0.005	4.48	0.14	0.092	0.002	6	1785	49	
1530D.1-4	94	389	4.1	0.83	0.1057	0.0041	0.332	0.019	4.84	0.34	0.105	0.006	-7	1726	72	
1530E.1-1	598	814	1.4	1.36	0.1087	0.0016	0.299	0.004	4.49	0.09	0.092	0.002	5	1778	27	
1530F.1-1	119	1715	14	2.42	0.1094	0.0047	0.277	0.007	4.18	0.21	0.078	0.001	-4	1790	78	
1530G.1-1	116	316	2.7	2.60	0.1093	0.0041	0.309	0.005	4.66	0.19	0.092	0.002	2	1788	68	
1530G.1-2	95	2470	26	0.90	0.1057	0.0024	0.310	0.014	4.52	0.23	0.113	0.007	-1	1727	42	
<i>Outliers</i>																
1530A.1-1	95	10051	105	0.27	0.0996	0.0027	0.264	0.005	3.62	0.12	0.077	0.001	-1	1617	50	
1530B.1-1	69	881	13	0.46	0.0922	0.0032	0.240	0.005	3.05	0.12	0.072	0.001	1	1471	66	
<i>Rejected analyses</i>																
1530D.1-3	80	353	4.4	2.31	0.1065	0.0081	0.356	0.034	5.24	0.64	0.114	0.007	-13	1740	139	
1530D.1-5	51	477	9.3	3.55	0.1082	0.0056	0.355	0.016	5.29	0.36	0.104	0.006	-11	1770	95	
1530F.1-2	226	1083	4.8	0.15	0.0913	0.0012	0.283	0.013	3.56	0.17	0.095	0.006	-11	1453	24	
1530C.1-1	158	526	3.3	1.02	0.1108	0.0023	0.311	0.007	4.76	0.14	0.079	0.001	-14	1813	38	
1530I.2-2	272	1487	5.5	0.93	0.0935	0.0028	0.142	0.010	1.84	0.14	0.085	0.005	43	1497	57	
1530I.1-1	50	3886	77	3.10	0.0984	0.0070	0.278	0.006	3.78	0.28	0.077	0.001	-5	1594	134	
1530I.2-1	148	1185	8.0	3.15	0.1217	0.0052	0.332	0.006	5.57	0.26	0.085	0.002	-12	1982	76	
1530I.3-1	22	332	15	3.32	0.0749	0.0097	0.283	0.012	2.92	0.40	0.080	0.002	-4	1065	261	
1530A.2-1	63	6021	96	3.72	0.0953	0.0080	0.276	0.006	3.63	0.32	0.075	0.001	-8	1535	158	
1530A.1-2	67	580	8.6	3.76	0.0949	0.0083	0.285	0.006	3.73	0.33	0.082	0.002	-1	1526	164	
1530B.1-2	268	700	2.6	4.24	0.1183	0.0052	0.315	0.005	5.14	0.24	0.087	0.002	-4	1930	79	
1530D.1-2	106	1450	14	4.73	0.1191	0.0071	0.326	0.008	5.35	0.35	0.087	0.001	-8	1942	107	
1530D.2-1	59	6844	115	6.07	0.1008	0.0092	0.305	0.006	4.24	0.40	0.087	0.001	-1	1638	169	

1530A.1-3	77	2645	34	10.27	0.1355	0.0131	0.349	0.009	6.52	0.65	0.089	0.002	-12	2171	169
-----------	----	------	----	-------	--------	--------	-------	-------	------	------	-------	-------	-----	------	-----

Footnotes as in Table S3.

TABLE S6. SHRIMP U-PB DATA FOR ZIRCON IN THE DUNBAR GNEISS SAMPLE 190615-5

Analysis No.	U (ppm)	Th (ppm)	Th/U	f_{206} (%) [*]	^{207}Pb / ^{206}Pb [†]	$\pm 1\sigma$	^{206}Pb / ^{238}U	$\pm 1\sigma$	^{207}Pb / ^{235}U	$\pm 1\sigma$	^{208}Pb / ^{232}Th	$\pm 1\sigma$	Disc. (%) [§]	^{207}Pb / ^{206}Pb	$\pm 1\sigma$
	Age (Ma)														
Main group (1845 ± 7 Ma; n = 17, MSWD = 1.02)															
1611B.2-2	1133	332	0.29	0.04	0.1142	0.0006	0.339	0.008	5.33	0.13	0.101	0.003	-1	1867	10
1611H.1-4	402	141	0.35	0.23	0.1139	0.0013	0.318	0.008	5.00	0.14	0.086	0.003	4	1863	21
1611E.1-1	382	165	0.43	0.18	0.1138	0.0012	0.340	0.008	5.33	0.15	0.097	0.004	-1	1861	19
1611H.1-5	514	241	0.47	0.13	0.1137	0.0011	0.334	0.009	5.24	0.15	0.093	0.003	0	1860	17
1611A.2-1	1245	961	0.77	0.45	0.1133	0.0008	0.350	0.008	5.46	0.14	0.099	0.003	-4	1852	13
1611D.1-1	758	231	0.31	0.04	0.1129	0.0007	0.334	0.008	5.20	0.13	0.089	0.003	-1	1847	12
1612H.2-1	771	162	0.21	0.42	0.1129	0.0013	0.320	0.008	4.99	0.13	0.110	0.004	3	1847	21
1612I.1-2	987	251	0.25	0.06	0.1129	0.0007	0.320	0.008	4.98	0.13	0.090	0.006	3	1847	10
1612I.1-1	1262	364	0.29	0.02	0.1128	0.0005	0.337	0.008	5.24	0.13	0.094	0.003	-1	1845	9
1611H.1-1	640	113	0.18	0.48	0.1126	0.0012	0.331	0.008	5.14	0.14	0.149	0.006	0	1842	19
1611K.1-1	1008	489	0.48	0.08	0.1125	0.0006	0.344	0.008	5.33	0.13	0.100	0.003	-3	1841	10
1611H.1-2	487	124	0.25	0.35	0.1123	0.0013	0.318	0.010	4.93	0.17	0.110	0.005	3	1836	21
1612A.1-1	811	203	0.25	0.57	0.1122	0.0012	0.320	0.008	4.95	0.13	0.119	0.005	2	1835	19
1611C.1-1	2174	1003	0.46	0.02	0.1119	0.0010	0.338	0.012	5.22	0.19	0.096	0.004	-3	1831	16
1612F.3-2	640	111	0.17	0.31	0.1117	0.0014	0.329	0.008	5.06	0.14	0.107	0.004	0	1827	23
1611A.1-1	577	185	0.32	0.26	0.1112	0.0012	0.306	0.007	4.70	0.13	0.091	0.003	5	1820	19
1611B.2-1	627	104	0.17	0.02	0.1109	0.0008	0.339	0.008	5.18	0.13	0.099	0.004	-4	1814	14
Subordinate group (1783 ± 14 Ma; n = 5, MSWD = 0.16)															
1611H.1-3	345	128	0.37	0.27	0.1099	0.0014	0.319	0.008	4.84	0.14	0.086	0.004	1	1798	22
1611C.2-1	1063	166	0.16	0.12	0.1090	0.0007	0.317	0.007	4.76	0.12	0.165	0.005	1	1784	11
1611J.4-1	341	212	0.62	0.91	0.1090	0.0019	0.317	0.008	4.77	0.15	0.084	0.003	0	1783	32
1612F.2-2	493	117	0.24	0.86	0.1090	0.0016	0.324	0.008	4.87	0.14	0.098	0.005	-2	1783	27
1612H.3-1	889	210	0.24	0.07	0.1087	0.0007	0.322	0.008	4.83	0.12	0.092	0.003	-1	1778	11
Rejected analyses															
1612F.2-1	776	354	0.46	0.80	0.1068	0.0014	0.331	0.008	4.87	0.14	0.090	0.004	-6	1746	25
1612F.2-3	667	47	0.07	0.63	0.1067	0.0014	0.339	0.009	4.98	0.15	0.076	0.013	-8	1744	24
1611E.1-2	457	200	0.44	0.45	0.1102	0.0017	0.344	0.010	5.23	0.18	0.099	0.004	-6	1802	28

1612B.2-1a	2011	2241	1.11	0.00	0.0919	0.0010	0.233	0.009	2.96	0.12	0.061	0.003	8	1465	20
1611B.1-1	1999	530	0.27	0.03	0.1137	0.0005	0.357	0.009	5.59	0.14	0.099	0.003	-6	1859	8
1612D.1-1	1603	1050	0.66	0.20	0.1134	0.0006	0.364	0.009	5.69	0.14	0.087	0.002	-8	1855	9
1611H.5-1	1196	58	0.05	0.04	0.1134	0.0007	0.310	0.011	4.85	0.17	0.130	0.007	6	1854	11
1612A.1-2	784	97	0.12	0.42	0.1128	0.0010	0.306	0.007	4.75	0.12	0.103	0.005	7	1844	17
1611J.5-1	931	277	0.30	0.18	0.1122	0.0008	0.295	0.007	4.56	0.12	0.080	0.003	9	1836	13
1611IJ.1-1	1810	807	0.45	0.11	0.1122	0.0005	0.298	0.007	4.62	0.11	0.091	0.002	8	1836	9
1612B.2-2	845	108	0.13	0.08	0.1121	0.0012	0.307	0.010	4.75	0.16	0.089	0.005	6	1834	19
1612F.3-1	895	466	0.52	0.24	0.1109	0.0015	0.297	0.010	4.55	0.16	0.085	0.003	7	1814	24
1612G.1-1	797	133	0.17	0.39	0.1104	0.0010	0.282	0.007	4.29	0.11	0.108	0.004	11	1806	17
1611J.2-1	787	194	0.25	0.51	0.1092	0.0011	0.278	0.008	4.19	0.13	0.083	0.004	11	1787	19
1612G.1-2	876	92	0.11	0.85	0.1096	0.0012	0.278	0.007	4.20	0.11	0.255	0.011	12	1792	20
1611H.4-1	962	254	0.26	0.14	0.1110	0.0008	0.280	0.008	4.29	0.13	0.076	0.005	12	1816	14
1611C.1-2	1857	492	0.27	0.02	0.0996	0.0005	0.230	0.006	3.15	0.09	0.062	0.002	18	1616	9
1611H.6-1	778	315	0.41	0.09	0.1112	0.0008	0.257	0.006	3.94	0.11	0.063	0.002	19	1819	14
1611G.3-2	1114	428	0.38	0.10	0.1065	0.0007	0.236	0.006	3.47	0.09	0.069	0.002	21	1741	12
1612G.1-3	876	201	0.23	0.51	0.1116	0.0012	0.244	0.006	3.76	0.10	0.101	0.004	23	1826	19
1612C.1-1	1569	444	0.28	0.28	0.1079	0.0008	0.226	0.006	3.37	0.09	0.073	0.002	25	1764	14
1612F.4-1	694	170	0.24	0.56	0.1098	0.0021	0.230	0.009	3.47	0.15	0.085	0.005	26	1795	35
1612H.1-1	1129	170	0.15	0.60	0.1080	0.0011	0.212	0.005	3.16	0.08	0.091	0.005	30	1767	18
1612B.1-1	521	185	0.35	0.39	0.1066	0.0014	0.196	0.005	2.89	0.08	0.059	0.003	34	1743	24
1612D.2-1	1577	133	0.08	0.36	0.0996	0.0018	0.175	0.005	2.40	0.09	0.091	0.005	36	1617	34
1612F.1-1	1211	597	0.49	0.95	0.1008	0.0031	0.150	0.014	2.09	0.21	0.040	0.005	45	1639	57
1612B.2-1	2874	195	0.07	0.05	0.0818	0.0007	0.078	0.002	0.88	0.03	0.032	0.001	61	1241	16
1611G.3-1	912	266	0.29	1.10	0.1105	0.0015	0.300	0.007	4.57	0.13	0.114	0.005	6	1808	25
1611G.1-1	1590	863	0.54	1.23	0.0959	0.0018	0.122	0.003	1.62	0.06	0.033	0.002	52	1545	36
1611H.2-1	881	194	0.22	1.27	0.1082	0.0021	0.205	0.006	3.06	0.11	0.116	0.007	32	1769	35
1611G.2-1	1156	192	0.17	1.35	0.1085	0.0027	0.184	0.006	2.76	0.11	0.118	0.013	39	1774	46
1611H.7-1	585	135	0.23	1.47	0.1139	0.0020	0.284	0.008	4.46	0.15	0.139	0.007	14	1863	32
1611I.1-1	1930	1078	0.56	1.76	0.1130	0.0013	0.248	0.006	3.87	0.10	0.071	0.003	23	1848	21
1611H.3-1	904	266	0.29	2.14	0.1104	0.0019	0.288	0.007	4.38	0.13	0.098	0.005	10	1806	32

1611J.3-1	1774	829	0.47	2.14	0.1002	0.0022	0.115	0.003	1.59	0.05	0.062	0.003	57	1628	41
1611K.2-1	942	317	0.34	2.69	0.1104	0.0034	0.258	0.006	3.92	0.16	0.167	0.009	18	1806	57

Footnotes as in Table S3.

TABLE S7. SHRIMP U-PB DATA FOR ZIRCON IN THE NEWINGHAM TONALITE SAMPLE 190615-6

Analysis No.	U (ppm)	Th (ppm)	Th/U	f_{206} (%)*	^{207}Pb / ^{206}Pb †	$\pm 1\sigma$	^{206}Pb / ^{238}U	$\pm 1\sigma$	^{207}Pb / ^{235}U	$\pm 1\sigma$	^{208}Pb / ^{232}Th	$\pm 1\sigma$	Disc. (%)§	^{207}Pb / ^{206}Pb	Age (Ma)	$\pm 1\sigma$
<i>Main age (1847±10 Ma, n = 12, MSWD = 0.64)</i>																
1618E.2-3	398	117	0.29	0.91	0.1159	0.0021	0.320	0.008	5.11	0.16	0.0947	0.0054	5	1894	32	
1619H.1-1	1048	768	0.73	0.22	0.1144	0.0010	0.328	0.004	5.17	0.07	0.0908	0.0013	2	1871	16	
1619H.1-4	1179	377	0.32	0.35	0.1136	0.0011	0.322	0.004	5.05	0.07	0.0875	0.0028	3	1859	18	
1618E.1-1	371	95	0.26	0.27	0.1134	0.0018	0.325	0.004	4.89	0.10	0.0924	0.0004	2	1854	28	
1619H.1-6	1013	671	0.66	0.19	0.1131	0.0011	0.320	0.004	4.99	0.07	0.0886	0.0028	3	1851	18	
1618E.2-1	1742	691	0.40	0.23	0.1130	0.0012	0.337	0.006	4.90	0.10	0.1000	0.0004	-1	1848	18	
1619H.1-3	1119	542	0.48	0.36	0.1129	0.0011	0.319	0.005	4.96	0.09	0.0884	0.0022	3	1847	18	
1619B.1-1	1113	352	0.32	0.18	0.1128	0.0010	0.328	0.004	5.10	0.07	0.0927	0.0017	1	1844	17	
1618C.1-3	1290	684	0.53	0.07	0.1125	0.0007	0.332	0.011	4.91	0.16	0.0961	0.0004	0	1839	12	
1619E.2-1	497	212	0.43	0.06	0.1123	0.0012	0.324	0.004	5.01	0.08	0.0919	0.0017	2	1837	19	
1619F.1-1	465	130	0.28	0.21	0.1118	0.0014	0.319	0.004	4.92	0.08	0.0849	0.0033	2	1829	22	
1619H.1-2	996	744	0.75	0.49	0.1118	0.0012	0.316	0.004	4.87	0.07	0.0877	0.0015	3	1829	20	
Young outlier																
1619B.2-1	1293	420	0.32	0.17	0.1074	0.0009	0.303	0.004	4.48	0.07	0.0885	0.0100	3	1756	16	
Rejected analyses																
1619H.1-5	1176	372	0.32	0.36	0.1129	0.0012	0.309	0.004	4.81	0.07	0.0861	0.0020	6	1846	19	
1618E.2-2	517	173	0.34	0.66	0.1128	0.0014	0.309	0.004	4.92	0.09	0.0844	0.0003	6	1845	23	
1618C.1-1	659	176	0.27	0.10	0.1117	0.0009	0.295	0.004	4.87	0.07	0.0875	0.0004	9	1827	15	
1619G.1-1	584	144	0.25	1.77	0.1215	0.0023	0.328	0.004	5.49	0.12	0.1203	0.0067	8	1978	34	
1619A.1-1	478	146	0.31	1.50	0.1161	0.0023	0.306	0.004	4.90	0.11	0.0972	0.0058	9	1898	36	
1619C.1-1	1022	452	0.44	0.01	0.1105	0.0010	0.360	0.004	5.49	0.07	0.1113	0.0077	-10	1807	17	
1619E.1-1	1934	700	0.36	0.22	0.1135	0.0009	0.375	0.007	5.87	0.11	0.1081	0.0023	-11	1856	15	
1618C.1-2	907	358	0.40	0.16	0.1103	0.0014	0.278	0.004	4.88	0.10	0.0792	0.0010	12	1804	23	
1618F.1-1	1634	618	0.38	0.31	0.0837	0.0006	0.180	0.004	2.08	0.05	0.0347	0.0011	17	1286	15	
1618C.1-4	1499	400	0.27	0.55	0.0994	0.0012	0.202	0.005	2.77	0.07	0.0675	0.0031	27	1613	22	
1618D.1-1	1693	2368	1.40	0.47	0.0864	0.0014	0.104	0.004	4.89	0.19	0.0105	0.0001	53	1347	31	

Footnotes as in Table S3.